

高等学校教学用書

航空活塞式發动机

第三册

M. M. 馬斯蓮尼科夫 著
M. C. 拉畢蒲特

高等 教育 出 版 社

高等学校教学用書



航空活塞式發动机

第三册

M. M. 馬斯蓮尼科夫 著

M. C. 拉畢蒲特

崔 济 亞 等 譯



高等教育出版社

本書系根据苏联国立国防工业出版社 (Государственное издательство обороны промышленности) 出版、馬斯蓮尼科夫 (М. М. Маслеников) 和拉畢蒲特 (М. С. Рапилорт) 合著的“航空活塞式发动机”(Авиационные поршневые двигатели) 1951年版譯出。原書經苏联高等教育部审定为高等航空学校教学参考書。

本書介紹航空活塞式发动机的工作过程和構造。中譯本分四冊出版，第三冊的內容包括发动机动力学、航空活塞式发动机的主要要求、構造特点及强度計算通論、主要構件及零件的構造。

参加本書翻譯工作的是崔濟亞、王幼純、陳大光、鄭光华等，并由崔濟亞整理及校訂。

航空活塞式发动机

第三冊

M. M. 馬斯蓮尼科夫, M. C. 拉畢蒲特著

崔濟亞等譯

高等教育出版社出版

北京琉璃廠一七〇號

(北京市書刊出版業營業許可證出字第〇五四號)

商務印書館上海廠印刷 新華書店總經售

統一書號 15010·410 開本 850×1168 1/32 印張 11 10/16 字數 286,000

一九五七年五月第一版

一九五七年五月上海第一次印刷

印數 1—2,000 定價(10) ￥ 1.70

第三册 目录

第三篇 發动机动力学

第十四章 曲柄机构运动学及惯性力.....	457
第一节 曲柄机构运动学.....	457
1. 小引.....	457
2. 曲柄运动学.....	457
3. 活塞行程.....	458
4. 活塞速度.....	462
5. 活塞加速度.....	465
第二节 关节连杆曲柄机构运动学的特点.....	467
第三节 曲柄机构中的惯性力.....	474
1. 曲柄惯性力.....	474
2. 活塞惯性力.....	475
3. 连杆惯性力.....	478
4. 曲柄机构中的总惯性力.....	479
第十五章 在发动机中作用的气体力及总力.....	479
第一节 气体力.....	479
1. 实际循环图的利用.....	479
2. 求定气体力.....	480
第二节 在单缸发动机中作用的总力.....	482
1. 小引：沿气缸轴作用的总力.....	482
2. 沿连杆轴及在气缸壁上作用的力.....	483
3. 在连杆轴颈上作用的切线力及法线力.....	484
第三节 在多缸发动机曲柄上作用的力.....	489
1. 气缸点火次序.....	490
2. 在曲轴的连杆轴颈上作用的总切线力及总法线力.....	497
第四节 在曲轴轴承上作用的力.....	499
1. 在曲轴主轴颈上及主轴承上作用的力.....	499
2. 在曲轴的连杆轴颈及在连杆轴承上作用的力.....	504
第五节 全发动机的总切线力及总转矩.....	508

第十六章	发动机的平衡	511
第一节	小引	511
第二节	單缸发动机的平衡	512
第三节	單列发动机的平衡	515
1.	平移运动質量慣性力的平衡	515
2.	旋转运动質量慣性力的平衡	520
3.	慣性力矩的平衡	520
第四节	多列发动机的平衡	521
第五节	星型发动机的平衡	523
1.	單星发动机中平移运动質量慣性力的平衡性	523
2.	單星发动机中慣性力的平衡	527
3.	双星发动机的平衡	527
4.	四星发动机的平衡	528
第六节	副連杆对于发动机平衡性的影响	529

第四篇 航空活塞式发动机的主要要求。 構造特点及強度計算通論

第十七章	主要要求及分类	531
第一节	航空活塞式发动机的主要要求	531
1.	功率	531
2.	升高度	533
3.	发动机及动力装置重量	534
4.	經濟性	536
5.	外廓尺寸	537
6.	工作可靠性	538
7.	平衡性	539
8.	使用要求	539
9.	生产要求	540
第二节	航空活塞式发动机分类	540
第十八章	航空发动机構造的一些特点	543
第一节	所用材料。零件形狀及其表面狀況	543
1.	所用材料	543
2.	零件形狀及其表面狀況	549
第二节	高温下零件工作的特点	551
1.	零件不均匀受热的影响	551

2. 高的工作溫度对于材料机械性質的影响.....	553
3. 受热对于零件共同工作情况的影响.....	557
第三节 零件强度計算通論.....	559

第五篇 主要構件及零件的構造

第十九章 气缸組及曲柄機構.....	562
第一节 气缸及缸排.....	562
1. 工作情況.....	562
2. 構造概述.....	563
3. 个别構造的做法举例.....	573
4. 強度計算.....	577
5. 材料及工艺概要.....	581
第二节 活塞.....	583
1. 工作情況及構造概述.....	583
2. 間隙.....	587
3. 个别構造的做法举例.....	589
4. 強度計算.....	592
5. 材料及工艺概要.....	599
第三节 連杆.....	601
1. 工作情況及構造概述.....	601
2. 連杆轴承.....	604
3. 个别構造做法举例.....	607
4. 強度計算.....	612
5. 材料及工艺概要.....	619
第四节 曲軸。構造及強度計算.....	620
1. 工作情況及構造概述.....	620
2. 曲軸構造元件.....	625
3. 个别構造做法举例.....	630
4. 強度計算.....	634
5. 材料及工艺概要.....	644
第五节 曲軸的扭轉振动.....	646
1. 振动小引.....	646
2. 由实际曲軸扭轉振动体系折合成理論体系.....	650
3. 求定体系的自然振动頻率.....	656
4. 軸上所加轉矩的簡諧分析.....	668
5. 強迫振动及求定共振条件.....	676
6. 發动机工作的共振状态。曲軸各部份由扭轉振动而生的附加应力.....	688

7. 悬摆减振器(阻尼器).....	691
第二十章 机匣、减速器及附属机构.....	695
第一节 机匣.....	695
1. 用途、工作情况及构造概述.....	695
2. V型发动机机匣.....	695
3. 星型发动机机匣.....	702
4. 材料及工艺概要.....	707
第二节 减速器.....	709
1. 用途.....	709
2. 减速器类型.....	709
3. 减速器构造.....	715
4. 强度计算.....	722
5. 材料及工艺概要.....	729
第三节 配气机构.....	729
1. 工作情况及构造概述.....	729
2. 个别构造做法举例.....	733
3. 求定气门升程.....	741
4. 求定凸轮转速、数目及位置.....	743
5. 气门运动学.....	746
6. 烘制凸轮廓形.....	753
7. 计算气门弹簧.....	756
8. 求定配气机构中作用力.....	760
9. 材料及工艺概要.....	761
第四节 附件及机构的传动和安置。起动装置.....	762
1. 所用附件及其传动概述.....	762
2. 附件及传动在发动机上安置的例.....	764
3. 增压器的传动.....	769
4. 起动装置.....	785
第二十一章 离心增压器及废气涡轮.....	790
第一节 传动离心增压器.....	790
1. 增压器特性及叶轮主要尺寸的选择.....	790
2. 增压器各元件及它们气流计算的基础.....	795
3. 构造概述.....	801
第二节 涡轮压气机.....	803
1. 涡轮计算概要.....	804
2. 涡轮压气机受热部份工作情况及主要的设计问题.....	812
3. 涡轮压气机构造概述.....	815

第三篇 發动机动力学

第十四章 曲柄机构运动学及惰性力

第一节 曲柄机构运动学

1. 小引

当曲轴旋转时，发动机的曲柄机构中产生种种的力，这些力在很大程度上决定载荷最重的主要零件的工作情况。

曲柄机构运动学及动力学，通常在曲轴转速不变时，即在稳定的发动机工作状态时研究。

在等速旋转时，曲轴角与时间成比例；所以活塞位移、速度及加速度不用时间的函数而采用曲轴角的函数来表示，这就使所得公式的形式简化了。曲轴角与时间的关系很简单，即由下列关系式表示：

$$t = \frac{\alpha}{\frac{360n}{60}} = \frac{\alpha}{6n} \text{ 秒}, \quad (354)$$

式中 α ——曲轴角，度；

n ——曲轴转速，转/分。

研究曲柄机构运动学时，采用它相应于活塞上极点的位置作起点，并且从这个位置起算曲轴角 α 及活塞行程 s 。

2. 曲柄运动学

当曲轴等速旋转时，曲柄的角速度不变，并且由曲轴转速决定：

$$\omega = \frac{\pi n}{30} \text{ 度/秒}$$

按上式求出的角速度，因次用弧度/秒即 $\frac{1}{\text{秒}}$ 表示。

这时曲柄上 A 点(圖 198 連杆軸頸的中心)的旋轉周速等于

$$w_A = \omega R, \quad (355)$$

式中 R —曲柄半徑,米。

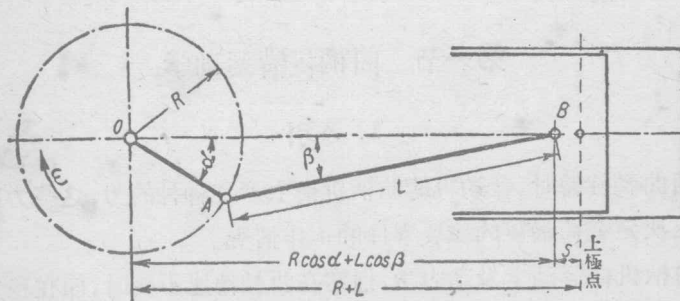


圖 198. 曲柄連杆機構圖。

因为假定曲軸旋轉是等速的，所以曲柄上每一点只有向心加速度，这个加速度大小不变，方向沿曲柄半徑向心。連杆軸頸中心的这个加速度按下式求定：

$$j_A = R\omega^2. \quad (356)$$

3. 活塞行程

从圖 198 可以看出，当曲軸轉离气缸軸 α 角时，活塞从上極点所走过的行程等于：

$$s = L + R - (L \cos \beta + R \cos \alpha), \quad (357)$$

式中 L —連杆長度；

R —曲柄半徑；

$L + R$ —活塞在上極点位置时从活塞銷中心 B 到曲軸中心 O 的距离；

β ——连杆轴与气缸轴之间的夹角。

为以下推证方便起见,引用 λ 值:

$$\lambda = \frac{R}{L}。 \quad (358)$$

现有发动机中, λ 值在 $\frac{0.233}{3.2} \sim \frac{0.313}{4.3}$ 的范围内变动。在前式中括半径 R 出括弧, 并且引用 λ , 得出

$$s = R \left[1 + \frac{L}{R} - \left(\cos \alpha + \frac{L}{R} \cos \beta \right) \right] = R \left[1 + \frac{1}{\lambda} - \left(\cos \alpha + \frac{\cos \beta}{\lambda} \right) \right]。$$

从图 198 看出,

$$L \sin \beta = R \sin \alpha,$$

也就是

$$\sin \beta = \frac{R}{L} \sin \alpha = \lambda \sin \alpha。$$

因此,

$$\cos \beta = \sqrt{1 - \sin^2 \beta} = \sqrt{1 - \lambda^2 \sin^2 \alpha}。 \quad (359)$$

用这式代 s 式中的 $\cos \beta$ 值, 得出

$$s = R \left[1 + \frac{1}{\lambda} - \left(\cos \alpha + \frac{1}{\lambda} \sqrt{1 - \lambda^2 \sin^2 \alpha} \right) \right]。 \quad (360)$$

这个所得的方程式给出活塞行程与曲轴角的准确关系。但是为取得加速度公式所必需的这方程式的二次微分, 产生极其实烦而不便应用的式子。所以(360)式通常化简, 换成近似的但在实用上足够准确的式子。为了这个目的, 式中所含的 $\sqrt{1 - \lambda^2 \sin^2 \alpha}$ 乘数项, 以无穷级数形式写出——分数方的牛顿二项式展开。大家知道, 这种二项式展开可表示如下:

$$(a - b)^n = a^n - na^{n-1}b + \frac{n(n-1)}{1 \times 2} a^{n-2}b^2 - \\ - \frac{n(n-1)(n-2)}{1 \times 2 \times 3} a^{n-3}b^3 + \dots \quad (361)$$

在目前情形有:

$$a=1; b=\lambda^2 \sin^2 \alpha; n=\frac{1}{2}.$$

因而，

$$\begin{aligned}\sqrt{1-\lambda^2 \sin^2 \alpha} &= 1 - \frac{1}{2} \times 1 \times \lambda^2 \sin^2 \alpha + \frac{\frac{1}{2} \left(-\frac{1}{2}\right)}{2} \times 1 \times \lambda^4 \sin^4 \alpha - \\ &\quad - \frac{\frac{1}{2} \left(-\frac{1}{2}\right) \left(-\frac{3}{2}\right)}{2 \times 3} \times 1 \times \lambda^6 \sin^6 \alpha + \dots = \\ &= 1 - \frac{\lambda^2 \sin^2 \alpha}{2} - \frac{\lambda^4 \sin^4 \alpha}{8} - \frac{\lambda^6 \sin^6 \alpha}{16} - \dots\end{aligned}$$

因为 λ 通常小于 $\frac{1}{3}$ ，那末在最不利情形（当 $\alpha=90^\circ$ 时）第二項也不超过第一項的 5%，而第三項——只 0.12% 左右。所以可只取級數的头兩項，并且实用上足够准确地認為

$$\sqrt{1-\lambda^2 \sin^2 \alpha} = 1 - \frac{\lambda^2 \sin^2 \alpha}{2}.$$

于是(360)式可写成下列形式：

$$s=R\left\{1+\frac{1}{\lambda}-\left[\cos \alpha+\frac{1}{\lambda}\left(1-\frac{\lambda^2 \sin^2 \alpha}{2}\right)\right]\right\},$$

而因为

$$\sin^2 \alpha = \frac{1-\cos 2\alpha}{2},$$

所以

$$\begin{aligned}s &= R\left\{1+\frac{1}{\lambda}-\left[\cos \alpha+\frac{1}{\lambda}\left(1-\frac{\lambda^2-\lambda^2 \cos 2\alpha}{4}\right)\right]\right\}= \\ &= R\left[1+\frac{\lambda}{4}-\left(\cos \alpha+\frac{\lambda \cos 2\alpha}{4}\right)\right].\end{aligned}\tag{362}$$

这便是活塞行程的近似公式。如在上下極点及在曲柄轉过角 $\alpha=90^\circ$ 时引用这式；就得出

当 $\alpha=0^\circ$ (上極点)时，活塞行程

$$s_0=0;$$

当 $\alpha=90^\circ$ 时

$$s_{90^\circ} = R \left[1 + \frac{\lambda}{4} - \left(0 + \frac{-\lambda}{4} \right) \right] = R \left(1 + \frac{\lambda}{2} \right);$$

当 $\alpha=180^\circ$ (下極点) 时

$$s_{180^\circ} = 2R = S,$$

也就是活塞的全冲程。

从 (362) 式看出, 活塞从上極点走过的行程 s , 与曲柄半徑 R 成比例; 并且活塞按曲軸角的运动規律只与 λ 值有关, 也就是在已知曲柄半徑时只与連杆的長度有关。

$\lambda = \frac{1}{3.5}$ 及 $\lambda = \frac{1}{4.2}$ 时活塞行程与曲軸角的圖解关系, 如圖 199 實線及点划線所示。曲軸角第一象限 ($\alpha=90^\circ$) 中活塞走过的行程, 比曲軸角第二象限中多。这由于活塞运动是在兩种原因的影响之下进行的:

(a) 連杆沿气缸軸的移动及

(b) 連杆偏離气缸軸, 而只在上下兩極点时与气缸軸重合。

当曲軸从 0 轉到 90° 时, 連杆向曲軸中心方向运动, 并且从气缸軸偏離。这兩因素产生活塞在同一方向的移动, 因此活塞走过的行程, 大于全行程之半。曲軸再旋轉时(圖 198), 連杆开始接近气缸軸, 并且在下極点重新与气缸軸重合。連杆向气缸軸接近的这种情形, 好像在反对由連杆繼續沿气缸軸移动而引起活塞向下極点的运动。所以当曲軸从 90 轉到 180° 时, 活塞所走过的行程比全行程的一半少。因为連杆在上下極点与气缸軸重合, 所以在这兩位置之間連杆的偏離气缸軸, 并不影响活塞全冲程值等于 $2R$ 。

显然, 連杆的長度愈大, 則連杆偏離气缸軸对于活塞行程所产生的影响將愈小。当連杆無穷長时, 这影响將無穷小, 并且活塞的运动, 将只由連杆与曲軸相連的一端沿气缸軸的移动而引起。因此这情形中活塞行程將等于曲柄半徑 R 末端在气缸軸上的投影的移动。从圖 198 看

出, 这情形中活塞行程由下式表示:

$$s_{\text{reop}} = R - R \cos \alpha = R(1 - \cos \alpha)。 \quad (363)$$

当 $\alpha = 90^\circ$ 时, 行程 $s_{90^\circ \text{ reop}} = R$ 。

连杆无穷长时的活塞行程, 在图 199 上以虚线表示。

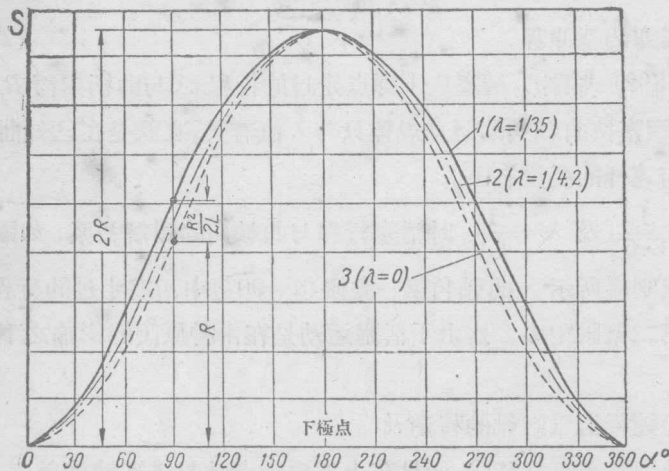


图 199. 连杆有限长(1 及 2)时及连杆无穷长(3)时活塞行程与曲轴角的关系。

(363)式也可以从(362)式得出, 因式中在连杆无穷长时 $\lambda = 0$ 。

因此, 由于连杆有限长而引起的曲轴从 0 转到 90° 时的活塞附加位移值是

$$\Delta s = s_{90^\circ} - s_{90^\circ \text{ reop}} = R \left(1 + \frac{\lambda}{2} \right) - R = \frac{\lambda R}{2} = \frac{R^2}{2L}。 \quad (364)$$

4. 活塞速度

活塞速度 w 的方程式, 用行程的方程式取时间微分得出。(362)式微分得:

$$w = \frac{ds}{dt} = R \left(\sin \alpha + \frac{2\lambda \sin 2\alpha}{4} \right) \frac{d\alpha}{dt}。 \quad (365)$$

但 $\frac{d\alpha}{dt}$ 便是曲轴旋转的角速度 ω , 所以

$$w = R\omega \left[\sin \alpha + \frac{\lambda \sin 2\alpha}{2} \right]. \quad (366)$$

活塞速度与曲轴角的关系, 如图 200 所示。

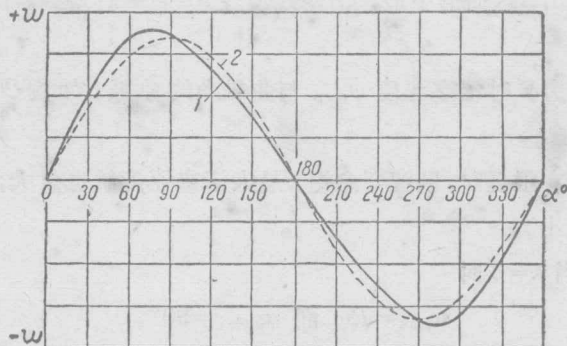


图 200. 连杆有限长(1)时及连杆无穷长(2)时活塞速度与曲轴角的关系。

从(366)式看出, 当 $\alpha=0$ 及 $\alpha=180^\circ$ 时, 也就是在上下极点时, 活塞速度等于零, 这是由于活塞运动在这两点改变方向的缘故。

当 $\alpha=90^\circ$ 时有

$$\underbrace{w_{90^\circ}}_{w_{90^\circ}} = R\omega,$$

即活塞速度等于曲柄的连杆轴颈中心的圆周速度。可是这速度并不最大。最大活塞速度的曲轴角 $\alpha_{w \max}$, 从(366)式用通常方法求定, 即按 α 一次微分并令其等于零:

$$\frac{dw}{d\alpha} = (\cos \alpha_{w \max} + \lambda \cos 2\alpha_{w \max}) R\omega = 0. \quad (367)$$

因为

$$\cos 2\alpha_{w \max} = 2 \cos^2 \alpha_{w \max} - 1,$$

所以有

$$\cos \alpha_{w \max} + 2\lambda \cos^2 \alpha_{w \max} - \lambda = 0,$$

或

$$\cos \alpha_{w \max} = -\frac{1}{4\lambda} + \sqrt{\left(\frac{1}{4\lambda}\right)^2 + \frac{1}{2}}. \quad (368)$$

連杆無窮長時活塞速度 w_{reop} 的公式，可將活塞行程(363)式微分或在(366)式中令 $\lambda=0$ 求得。

在兩種情形下都得

$$w_{\text{reop}} = R\omega \sin \alpha.$$

可以看出，這情形中最大活塞速度在 $\alpha=90^\circ$ 時得到，並且其值是 $R\omega$ 。

連杆無窮長時活塞速度 w_{reop} 與曲軸角的關係，如圖 200 虛線所示。

如連杆有限長時，則連杆愈短，最大活塞速度值也愈大；並且相應的曲軸角減小。

例如，當 $\lambda=0$ 時

$$w_{\max} = R\omega \text{ 而 } \alpha_{w \max} = 90^\circ,$$

當 $\lambda=\frac{1}{4}$ 時

$$w_{\max} = 1.03 R\omega \text{ 而 } \alpha_{w \max} = 77^\circ,$$

當 $\lambda=\frac{1}{3}$ 時

$$w_{\max} = 1.05 R\omega \text{ 而 } \alpha_{w \max} = 73.5^\circ$$

早前說過(第四章第三節第3分節)，在速度的真正值以外，往往採用叫做平均活塞速度 $w_{\text{av. cp}}$ 的假想值。

平均活塞速度由(81)式表示：

$$w_{\text{av. cp}} = \frac{S n}{30} \text{ °} \checkmark$$

現代航空發動機中，平均活塞速度等於 11—18 米/秒。

從這式看出，在平均活塞速度已指定時，活塞冲程愈小，則許用轉速可以愈大。這也就說明了，何以小活塞冲程的發動機可用較高轉速工作。

拿 $w_{\text{av. cp}}$ 的式子與 w_{\max} 的數據對照，並考慮 $S=2R$ 及 $\omega=\frac{\pi n}{30}$ ，可

以看出

$$w_{\max} = (1.03 - 1.05) \frac{\pi}{2} w_{n.e.p.} \quad (369)$$

因此最大活塞速度超过平均活塞速度约 60%。

5. 活塞加速度

为了取得活塞加速度 j 的公式, 将 (366) 式按时间微分就行。(注意在曲轴等速旋转时角速度 ω 不变),

$$j = \frac{dw}{dt} = R\omega \left(\cos \alpha + \frac{2\lambda \cos 2\alpha}{2} \right) \frac{d\alpha}{dt} \quad (370)$$

因为

$$\frac{d\alpha}{dt} = \omega,$$

所以

$$j = R\omega^2 (\cos \alpha + \lambda \cos 2\alpha) \quad (371)$$

在 $\lambda = \frac{1}{3.5}$ 时活塞加速度与曲轴角的关系, 如图 201 所示。

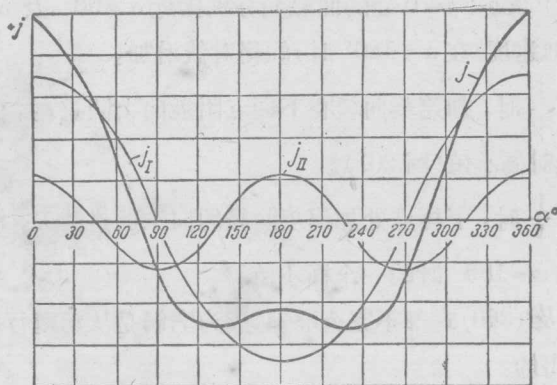


图 201. 活塞全加速度、第一级(j_I)及第二级(j_{II})加速度与曲轴角的关系。

可以看出, 加速度的最大值在上极点 ($\alpha = 0$) 得出, 它等于

$$j_0 = R\omega^2 (1 + \lambda).$$

在下極點 ($\alpha=180^\circ$)，加速度值小得多，等于

$$j_{180^\circ} = -R\omega^2(1-\lambda)。$$

根据(371)式，活塞加速度可写成兩個加速度之和：

$$j=j_1+j_{11},$$

式中

$$j_1=R\omega^2 \cos \alpha;$$

$$j_{11}=R\omega^2\lambda \cos 2\alpha。$$

这些加速度随曲軸角的变化，如圖 201 所示。因此活塞加速度曲綫可認為是由兩個簡諧組成，并且一个 (j_1) 的周期按 $\cos \alpha$ 規律变化，即等于曲軸旋轉周期，而另一个 (j_{11}) 的周期則按 $\cos 2\alpha$ 規律变化，即小一半。所以加速度 j_1 叫做一級加速度，而加速度 $j_{11}=$ 二級加速度。当 $\lambda=0$ 时，二級加速度变成零，因而二級加速度的出現只是由于連杆有限長的緣故。

按 (371) 式，加速度 j 曲綫的形狀与 λ 值有关。 λ 愈小，即已知曲柄半徑值时連杆愈長，則加速度曲綫愈接近第一級簡諧，那就是： j_{\max} (在 $\alpha=0$ 时) 減小； $j=0$ 处的曲軸角分別接近 $\alpha=90^\circ$ 及 $\alpha=270^\circ$ ；末了，最大負加速度 (在 $\alpha=180^\circ$ 时) 的絕對值增加。

当 $\lambda > \frac{1}{4}$ 时，加速度曲綫在下極點附近向上凹进，并在兩個曲軸角值时有絕對極小值 (圖 201)。

当 $\lambda \leq \frac{1}{4}$ 时，下極點处加速度曲綫的向上凹进消失，并且兩個極小值合并成 $\alpha=180^\circ$ 时的一个極小值。

(371) 及 (366) 式都不完全准确，因为它们是从活塞行程的近似公式(362)推出的。

如果在二項式展开(361)式中，不是只取級數前兩項，而是取前四項，那末我們便得出較准确的活塞加速度公式 (一直包括到第 6 級簡諧)：

$$j=R\omega^2\left(\cos \alpha+\lambda \cos 2\alpha-\frac{\lambda^3 \cos 4\alpha}{4}+\frac{\lambda^5 \cos 6\alpha}{14}\right)。 \quad (372)$$